

Koşullu Çekişmeli ve Evrişimli Sinir Ağ Tabanlı Otomatik Karaciğer Bölütleme

Bora Baydar^{1*}, Savaş Özkan^{1*}, and Gözde Bozdağı Akar¹

Elektrik/Elektronik Mühendisliği, Ortadoğu Teknik Üniversitesi, 06800, Ankara, Türkiye

Özet Tıbbi görüntülerin otomatik bölütlenmesi, bu alandaki uzmanlara zaman kazandırması ve insan hata faktörünü azaltması sebebiyle tıp bilişimi alanında revaçta olan çalışmalardan biridir. Bu bildiriye karaciğer MR görüntülerinin otomatik bölütlenmesi için Koşullu Çekişmeli Ağ (KÇA) ve Evrişimli Sinir Ağ (ESA) tabanlı otomatik yeni bir yöntem sunulmaktadır. Önerilen yöntem, hiçbir son işleme olmadan, Dokuz Eylül Üniversitesi tarafından sağlanan veriler üzerinden düzenlenen SIU Karaciğer Bölütleme Yarışması 2018’de en başarılı 2. sonucu elde etmiştir. Bu bildiriye, son işleme adımında yeni iyileştirmeler önerilmiş ve önerilen eklemelerle, yöntemin diğer yöntemlere kıyasla daha başarılı sonuçlar üretebildiği gösterilmiştir.

Anahtar kelimeler: Karaciğer Bölütleme, Tam Evrişimsel Sinir Ağları, Koşullu Çekişmeli Sinir Ağları

Abstract. Automatic segmentation of medical images is among most demanded works in the medical information field since it saves time of the experts in the field and avoids human error factors. In this work, a method based on Conditional Adversarial Networks and Fully Convolutional Networks is proposed for the automatic segmentation of the liver MRIs. The proposed method, without any post-processing, is achieved the second place in the SIU Liver Segmentation Challenge 2018, data of which is provided by Dokuz Eylül University. In this paper, some improvements for the post-processing step are also proposed and it is shown that with these additions, the method outperforms other baseline methods.

Keywords: Liver Segmentation, Fully Convolutional Neural Networks, Conditional Adversarial Neural Networks

1 Giriş

Son yıllarda, tıbbi görüntü analizi süresince uzmanlarca harcanan zamanı ve insan hatalarını azaltmak için otomatik bilgisayar tabanlı yaklaşımlar sıklıkla

Email: ozkan.savas@metu.edu.tr

* İki yazar da eşit yenilik sunmaktadır.

tercih edilmektedir. Otomatik nesne bölütleme özellikle birçok tıbbi görüntüleme arasında en önemli ve ihtiyaç duyulan uygulama alanı olarak belirlenebilir. Kısaca bölütleme, görüntünün/sahnenin anlamlı bütünlük sağlayacak şekilde parçalara ayrılması işlemidir ve hastalıkların saptanmasında, tedavinin planlamasında ve tedavi sonrası gelişimi izlemede yaygın olarak kullanılmaktadır.

MR görüntülerinin bölütlemesi için literatürde birçok farklı yöntem sunulmuştur [3],[4],[5],[6],[7]. Özellikle, veri miktarı ve paralel işleme gücündeki artış, derin öğrenme tabanlı yöntemlerin daha etkin bir şekilde kullanılabilmesini hızlandırmıştır. Evrişimli sinir ağ yapısı, sahne sınıflandırma için etkin olarak kullanılmaktadır [8],[9],[10],[11] ve yalnızca son ağ katmanında yapılan değişikliklerle bölütleme probleminde uyarlanabilmektedir [12]. Literatürde, bu konuda çok başarılı yaklaşımlar önerilmiştir. Dolayısıyla en son sunulan tıbbi görüntü bölütleme yöntemlerinin büyük bir kısmı Tam Evrişimli Ağ (TEA) tabanlıdır.

Bu çalışmada, MR görüntülerinin yüksek başarımla otomatik olarak bölütlenmesi için yenilikçi bir yöntem önerilmektedir. Bu kapsamda, çalışma uzayı olarak MR karaciğer görüntüleri yapılan testlerde kullanılmıştır. Önerilen yöntemde, tam evrişimli ağ yapısı tercih edilmiştir. Özellikle, literatürdeki genel filtre yapısından farklı olarak önemli yapısal değişiklikler sunulmaktadır. Bu sayede, ağ parametrelerinin aşırı öğrenme oranları engellenmiştir. Ayrıca, çekişmeli sinir ağ öğrenme adımı [13], sınıflandırma adımı ile birlikte kullanılmış, böylelikle evrişimsel ağların MR nesne sınırlarında yumuşak olan bölütleme sonuçları daha keskin olması sağlanmıştır. Önerilen yöntem, MR kanallarını tek ya da küçük kanal grupları olarak işleyebildiğinden, bölütme sonuçlarında oluşabilecek ayrışmaları gidermek için son filtreleme adımı uygulanmıştır. Bu sayede, elde edilen MR bölüt görüntüsü tek bir bütün nesne parçası olarak hesaplanmaktadır.

Bildirinin devamında, ilk olarak literatürde MR bölütme üzerine yapılan araştırmalar özetlenmektedir. Daha sonra, bildiriye önerilen yöntem detaylı olarak anlatılmaktadır. Son olarak, deneyler sırasında kullanılan veriseti, yapılan testler ve elde edilen sonuçlar karşılaştırmalı olarak sunulmaktadır.

2 İlgili Çalışmalar

Ronneberger *et al.*, [12] de sunulan tam evrişimli ağı (FCN-8s) geliştirerek tıbbi görüntü bölütlemesi için U-Net'i sunmuştur [21]. U-Net, atlama bağlantıları ve adım adım üst örnekleme yapması sayesinde performansı artırmış ve sunulduğu dönemden itibaren, tıbbi görüntü bölütlemeye araştırmacıların tercihi haline gelmiştir. Buna rağmen, doğru değişiklikler ve ağ yapısının probleme uyarlanması ile hala geliştirmeye açıktır.

Beyin MR bölütlemesi gibi çok sınıflı problemler için literatürde birçok yöntem bulunmaktadır. Bu yöntemler bazen farklı ağlar kullanarak performansı artırmayı hedeflerken [7, 5], bazıları ise ESA'nın iç yapısını değiştirerek bunu başarmaya çalışmıştır [14, 15, 16]. Örneğin, [7] kademeli bir ağ yapısı önerilmiştir. Bu yapıda herbir sınıfın sınıflandırması sıralı bir şekilde yapılmaktadır. Buna karşın [5] farklı yapıda birçok ağı eğitip bunların sonuçlarını birleştirerek son sınıf etiketine ulaşmıştır.

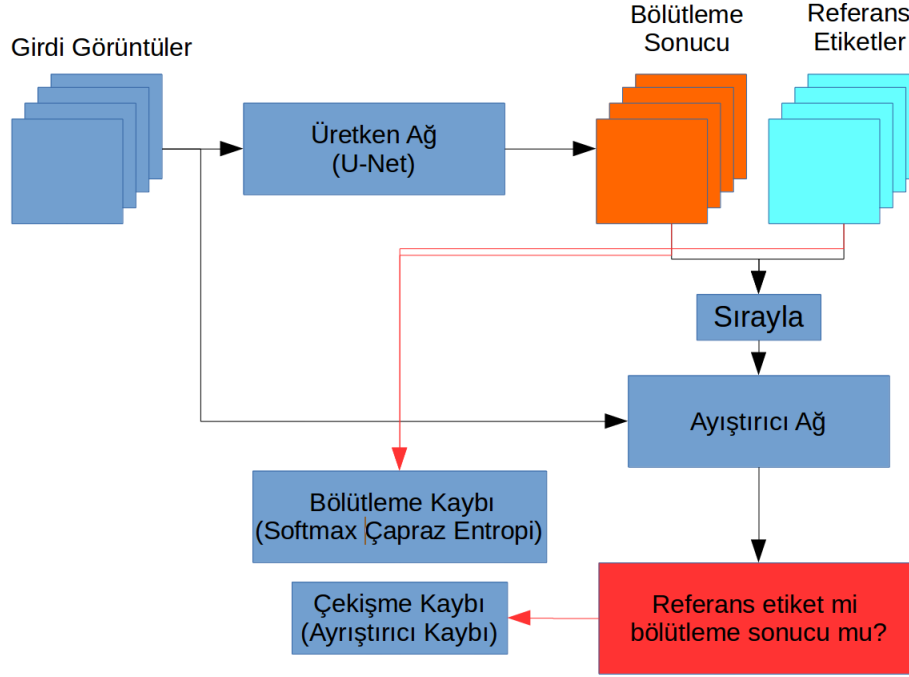


Fig. 1. Önerilen yöntemin genel akışı

ESA'ların performansını artırmak için önceden sunulan bazı yapısal değişiklikler MR bölütlemesine de uygulanmıştır. Bunlardan öne çıkanlar başlangıç modülleri [10], genişletilmiş evrişimler [17] ve artık bağlantı blokları [9] olarak özetlenebilir. Bunlara ek olarak, birçok problemde olduğu gibi MR bölütleme probleminde de aktivasyon fonksiyonu, kayıp fonksiyonu vb. seçimlerin performansı önemli ölçüde etkileyebileceği bilinmektedir.

3 Tıbbi Görüntü Bölütleme için Genelleştirilmiş Bir Derin Öğrenme Yaklaşımı

Bu çalışmadaki hedefimiz, bütün MR görüntü bölütleme problemlerinde iyi sonuç verebilecek, genelleştirilmiş bir yaklaşım sunmaktır. Ana bölütleme ağı olarak, FCN-8'e göre avantajları olduğu için U-Net kullanılmıştır. Bu avantajlardan en önemlisi U-Net'in atlama bağlantılarını kullanarak hatanın daha kolay yayılım yapmasını sağlamasıdır. Bu sayede bilgi kaybetme problemi azaltılmış olur.

Ayrıca, bölütleme ağının eğitimini iyileştirmek için, bu ağ yapısına ek olarak bir çekişmeli ağ kayıp değeri eklenmiştir. Genel ağ yapısı Şekil 1'de verilmiştir.

3.1 Veri Normalleştirme

Tıbbi veriler toplanırken, birçok farklı kuruluş, hastane, enstitü vs. bu işleme katkı sağlayabilir. Benzer şekilde, bu kuruluşlar farklı MR makineleri (çözünürlük ve kalite farklılıkları) ve farklı protokoller ile bu verileri toplayabilir. Önerilecek yöntem, aynı tipte fakat farklı karakteristiklerdeki verileri aynı başarı oranıyla işleyebilmelidir. Bu nedenle, görüntülerin bir ön işleme adımıyla düzeltilmesi elde edilecek başarıya katkı sağlamaktadır.

Önerilen ön işleme adımında, her bir MR görüntü, piksel değerleri $x_i \in \mathbb{R}^{W,H,D}$ dağılımına göre normalize edilmiştir. Burada, W ve H görüntünün uzamsal boyutlarını gösterirken, D MR görüntünün kanal sayısına karşılık gelmektedir. Bu amaçla, görüntüdeki en yüksek ve en küçük pixel değeri ile görüntü tekrar ölçeklenmiştir:

$$\hat{x}_i = \frac{x_i - \min_x}{\max_x - \min_x} \quad (1)$$

Burada \max_x ve \min_x değerleri görüntüdeki bütün pikseller arasında en büyük ve en küçük değerlere karşılık gelmektedir. Bu adım sayesinde, farklı piksel aralıklarındaki görüntüler, aynı değer aralığına ölçütlendiği için bölütlemedeki doğru sınıflandırma oranı artmaktadır.

3.2 Genel Evrimsel Ağ Yapısı

Bölütleme problemini, sahne sınıflandırma probleminden ayıran en temel fark, çıktı sonucunun tek bir değer yerine herbir piksel için farklı sonuçlara karşılık gelmesidir. Bu nedenle de, çıktı sonucu girdi görüntüyle aynı uzaysal boyutlara sahip olmalıdır ve bölütleme problemi için her pikselin sınıflandırması yapılmalıdır. Sınıflandırma problemlerinde, derin katmanlara indikçe uzaysal boyutlar küçülürken, saklı (latent) öznelik bilgi miktarı artmaktadır. Bölütleme için önerilmiş olan FCN-8 ve U-Net gibi ağlarda [12, 21], derin katmanlarda elde edilen ve uzaysal boyutları küçük olan öznelikler, farklı yollarla üst örnekleme yapılarak girdi boyutlarına yükseltilir. FCN-8 bu işlemi tek adımda yaparken, U-Net bu işlemi herbir katmanda tekrarlı şekilde yapmaktadır. Eğer, görüntülerden öznelik çıkarma adımına kodlama ve bölütlemenin oluşturulması için örnekleme yapılan adıma da çözümleme denirse, kodlama adımının farklı katmanlarında elde edilen değerler, çözümleme adımında herbir katmanda ayrı ayrı birleştirilmektedir (toplama veya bitleştirme yöntemiyle). Bu sayede, girdi görüntüden çıktı sonucuna kadar olan bilginin miktarını maksimuma çıkarmak amaçlanmaktadır ve eğitim sırasında sonuç değerinde oluşabilecek hatanın daha kolay geri yayılım yapabileceği bir kısayol eklenmiş olur. Ayrıca, FCN-8 modeline göre hesaplama yükü katmanlar halinde birleştirme yapıldığı için nispeten azalmıştır.

Önerilen yöntemin eğitimi sırasında softmax çapraz entropi [22] kayıp değeri kullanılmaktadır:

$$\mathcal{L}_{cls} = -\frac{1}{N} \sum_{i=1}^N (y_i^R \log y_i^P) \quad (2)$$

Burada y_i^R gerçek bölüt görüntüsünü gösterirken, y_i^P önerilen yöntem tarafından tahmin edilen bölütleme sonucuna karşılık gelmektedir. N ise görüntüdeki piksel sayısını temsil eder.

3.3 Yapısal Önermeler

Literatürde, özellikle geri yayılım bilgisinin kaybolmasını engellemek ve ReLU aktivasyon fonksiyonu [23] ile kullanıldığında seçiciliği arttırmak için Grup (batch) Normalleştirme [24] yaygın olarak kullanılmaktadır. Yaygın olarak her katmanda önce Evrişimsel Filtre, sonrasında Grup Normalleştirme, ve en son ReLU uygulaması tercih edilmektedir.

Fakat Grup normalleştirme adımının, evrişimsel filtre yapıdan önce uygulanmasının daha başarılı sonuçlar verdiği deneysel sonuçlarda gözlenmiştir. Ayrıca, ReLU aktivasyon fonksiyonu yerine negatif değerlere kısmi izin veren Parametrik ReLU [25] aktivasyon fonksiyonu tercih edilmiştir. Sonuçların iyileşmesindeki temel etken, filtreleme sonucunda elde edilen negatif değerlerin bilgi akışı sırasında tamamen kaybedilmemesi ve olabildiğince en yüksek seviyede bütün değer aralıklarının istatistiki olarak değerlendirmeye alınmış olmasıdır.

3.4 Çekişmeli Sınır Ağları

Evrişimli filtre yapısındaki en önemli eksik, nesnenin kenar bölgelerinde yumuşak ve belirgin bir şekilde bozuk şekillerin oluşmasıdır. Bu durumu iyileştirmek için literatürde en fazla tercih edilen yöntemlerin başında Koşullu Rastgele Alanlar gelmektedir. Bu fonksiyon pikselin rengine, komşu piksellerin sınıflarına, pikselin pozisyonuna bağlı olarak ilişkiler kurarak bölütme sonuçlarını iyileştirmeyi amaçlamaktadır. Fakat, öğrenme sırasında, evrişimler ağlardaki parametre değerlerine etki edemediği için, genel yapıdan bağımsız bir ikinci adım olarak tercih edilmektedir. Bu nedenle bizim yaklaşımımızda Koşullu Rastgele Alanlar tabanlı bir yaklaşım yerine, derin ağ modeliyle etkileşime geçebilecek Koşullu Çekişmeli Ağ yaklaşımı entegre edilmiştir.

Kısaca, klasik Üretken Çekişmeli Ağlarda [13], ağ rastgele Gaussian vektörleri ile beslenir ve ayrıştırıcı-iyileştirici öğrenme modeli sonucunda eğitim veri setinde bulunan görsellere benzeyen yeni sonuçlar elde edilir. Koşullu Çekişmeli Ağlarda ise ağa aynı zamanda belli koşullar girdi olarak verilebilir. Örneğin, [26] çalışmalarında, elde edilmek istenen yüz ifadesi girdi olarak ağa sağlanır. Anlamsal bölütleme probleminde de yaklaşım buna oldukça benzerdir. MR görüntüsü (x_i) ile elle etiketlenen gerçek bölüt alanı (y_i^r) bitleştirilmiştir ($u_i^R = [x_i, y_i^r]$), $[\cdot]$ bitleştirme işlemini belirtmektedir). Benzer şekilde MR görüntüsü (x_i) ile üretici ağ tarafından elde edilen sonuç görüntüsü (y_i^r) bitleştirilmiştir ($u_i^P = [x_i, y_i^r]$). Koşullamada, üretici ağ, u_i^P ile u_i^R yi ayırt etmeye çalışan bir ayrıştırıcı ağ ile eğitilmektedir. Böylece, eğitim sırasında nesnelere kenar sınırlarında oluşacak hatanın modele yayılımı ek bir kayıp değeri ile sağlanır:

$$\mathcal{L}_{gan}^d = \frac{1}{N} \sum_{i=1}^N (\log D(u_i^R)) + \frac{1}{N} \sum_{i=1}^N (\log(1.0 - D(u_i^P))), \quad (3)$$

$$\mathcal{L}_{gan}^g = \frac{1}{N} \sum_{i=1}^N (\log D(u_i^P)) \quad (4)$$

Burada, \mathcal{L}_{gan}^d ayrıştırıcı kayıp değeri, gerçek ile elde edilen bölütleme değerini birbirinden olabildiğince ayırt etmeye çalışırken, \mathcal{L}_{gan}^g evrimsel filtreleri bölütleri olabildiğince gerçek değerlere benzetmeye yani sınır kenar noktalarında keskinleştirilmeye çalışmaktadır. Not edilmelidir ki, karaciğer bölütlemesinde kullanılan KÇA, son işleme adımından ziyade, kayıp fonksiyonunun geliştirilmesi olarak düşünülebilir.

3.5 Öğrenme Modeli

Üst kısımda özetlendiği üzere, parametre öğrenmede iki kayıp değerlerinden faydalanılmaktadır:

$$\mathcal{L} = \mathcal{L}_{cls} + 0.01 \times \mathcal{L}_{gan}^g \quad (5)$$

Dikkat edileceği üzere Koşullu Çekişmeli kayıp değeri oldukça düşük tutulmuştur. Bunun nedeni, [27]'de özetlendiği gibi çekişmeli ağlar parametre uzayını ayırırken devamlı olmadığı ve yerel minimumlara takılabileceğinden dolayıdır. Ayrıca, parametrelerin öğrenilmesi için Adam çözümlenmesi [28] kullanılmıştır. Öğrenme katsayısı ve toplam iterasyon sayısı 0.001 ve 100K olarak belirlenmiştir. Kodlanması sırasında Tensorflow kod kütüphanesinden yararlanılmıştır.

3.6 3-Boyutlu Ayrık Giderme

Önerilen sistem, 3-boyutlu MR görüntüsü bölütleme esnasında, bütün girdi görüntülerini kullanmak yerine, sıralı gruplar halinde bölüt tahminleri yapmaktadır. Matematiksel olarak, $f(\cdot)$ önerilen evrimsel filtre modelini belirtirse, elde edilen herbir bölüt sonucu $2 \times K + 1$ komşuluğundaki görüntüler kullanılarak $y_i^P = f([\hat{x}_{i-K}, \hat{x}_{i-K+1}, \dots, \hat{x}_{i+K-1}, \hat{x}_{i+K}])$ ile gösterilebilir. Bu nedenle, tahminler sırasında bazı 3-boyutlu nesneden kopuk ayrışmalar oluşacaktır.

Son adım olarak, elde edilen 3-boyutlu MR görüntüleri birbirine bağlı voksellerden oluşacağı bilgisi de göz önünde bulundurularak, küçük yanlış ayrışmaları gidermek için en büyük 3 boyutlu bağlı hacim filtrelemesinin performansı artırdığı gözlenmiştir.

4 Deneysel Sonuçlar

İlk olarak kullanılan veriseti ve performans hesaplama metrikleri özetlenecektir. Daha sonra, yapılan deneyler ve elde edilen sonuçlar karşılaştırmalı olarak değerlendirilecektir.

4.1 Veriseti ve Metrikler

SIU Karaciğer Bölütleme Yarışması 2018¹ 'de de kullanılan BT veri seti 20 hastadan oluşmaktadır[1, 2]. Bunların 6 tanesi eğitim için referans etiketleri ile birlikte sağlanmıştır. Kalan 14 hastanın ise yalnızca tarama görüntüleri verilmiştir. Bölüm 4.2'de yarışmada elde edilen sonuçlar verilmiştir. Verisinde her bir hasta farklı karaciğer MR kesiti görüntüsünden oluşabilmektedir.

Table 1. Son işleme adımı eklenmeden, farklı komşu katman sayıları kullanılarak elde edilen sonuçlar.

Kullanılan Komşu Katman Sayısı	Hacimsel Örtüşme	Bağıl Mutlak Hacim Farkı	Ortalama simetrik yüzey mesafesi	Etkin simetrik yüzey mesafesi	En büyük simetrik yüzey mesafesi	Sonuç
0	83.479	72.708	61.159	24.395	0.000	48.348
3	88.839	81.462	74.831	39.280	0.000	56.883

Performans değerlendirmesinde 5 farklı metriğin ortalama değeri dikkate alınmıştır. Bunlar, hacimsel örtüşme, bağıl mutlak hacim farkı, ortalama simetrik yüzey mesafesi, etkin simetrik yüzey mesafesi ve en büyük simetrik yüzey mesafesidir.

4.2 Sonuçlar

Önerilen yöntemin sonuçları bu bölümde detaylı olarak sunulmuştur. İlk olarak Tablo 1'de son işleme adımı (3B ayrık giderme) olmadan yöntemin sonuçları göstermektedir. Tablodaki kullanılan komşu katman sayısı K değerine karşılık gelmektedir. Sonuçlardan, bölütleme işleminde kullanılan komşu katman sayısının artması sonuçlara olumlu etki yapabildiğini göstermektedir. Fakat, bu artış, hesaplama da benzer bir artışa neden olmaktadır.

Table 2. 2 boyutlu ayrık giderme sonrası elde edilen sonuçlar.

Kullanılan Komşu Katman Sayısı	Hacimsel Örtüşme	Bağıl Mutlak Hacim Farkı	Ortalama simetrik yüzey mesafesi	Etkin simetrik yüzey mesafesi	En büyük simetrik yüzey mesafesi	Sonuç
0	85.602	79.179	85.703	74.268	26.320	70.215
1	88.369	72.603	89.043	84.673	41.964	75.330
2	89.261	72.587	89.861	86.295	44.107	76.422
3	90.331	90.039	90.180	86.448	40.333	79.466

Tablo 2'de son işleme olarak 2B ayrık giderme uygulandığında elde edilen sonuçlar görülmektedir. Tablo 1'de verilen son işlemlerle halleri ile karşılaştırıldığında sonuç puanlarının yaklaşık 20 puan arttığı görülmektedir. Bu da, sunulan yöntemin aslında basit bir işlem adımıyla çok daha başarılı sonuçlar verebileceğini

¹ <https://eee.deu.edu.tr/moodle/mod/page/view.php?id=7873>

göstermektedir. Ayrıca, komşulukların kullanılmasının performansa olan olumlu etkisi benzer şekilde bu tabloda da gözlenmektedir.

Son olarak, 2B yerine 3B ayrık giderme son adımı uygulandığında sonuçlara olan etkisi gösterilmiştir. Tablo 3’de önerilen yöntemin (METU MM LAB v5) SIU Karaciğer Bölütleme Algoritmaları Yarışması’nda sunulan diğer yöntemlerle karşılaştırmalı sonuçları verilmektedir. Burada, önerilen yöntem sadece verilen kısıtlı veri seti ile eğitilmiştir. İTÜ Vision Lab-v10 algoritmasında ise farklı veri setleri ile eğitim veri seti daha geniş tutulmuştur. Bu da, önerilen yöntemin limitli eğitim seti ile dahi en iyi başarıyı verebileceği ve MR görüntü bölütleme problemi için en iyi yöntem olabileceğinin göstergesidir.

Table 3. Yarışmada sunulan en başarılı yöntemlerin sonuçları.

Otomatik yöntem grubu sonuçları	İlk puanlar (eğitim + test verisi)	İlk puanlar (test verisi)	Güncellenmiş puanlar (test verisi)
İTÜ-Vision Lab - v10	67.620	63.560	79.680
METU MM LAB v4	62.480	56.880	79.470
DEU Deep Medic v2	-	-	61.930
METU MM LAB v5*	-	-	85.080

5 Yorumlar

Tıbbi görüntüler 3 boyutlu olarak toplandığından ve değerlendirme sırasında bu bilgiden faydalanılması gerektiğinden, 3 boyutlu otomatik yöntemlerin başarıyı artırabildiği gösterilmiştir. Ayrıca, önerilen yöntemde, Koşullu Çekişmeli Ağlar eğitime dahil edilmiştir. Bu sayede doku sınırlarında, ağ bir koşullama kurarak, yöntemin eğitimi geliştirilmiş ve başarıyı artırılmıştır. Son olarak, elde edilen bölütleme görüntülerinde ayrıkların temizlenmesinin başarıyı arttırdığı özetlenmektedir. Önerilen yöntemin testleri sırasında sadece karaciğer bölütleme problemi kullanılsa da, bu yöntem herhangi bir MR görüntü bölütleme problemine rahatlıkla uygulanabilir.

6 Teşekkürler

Önerilen modelin eğitimi ve testleri sırasında kullanılan hibe edilmiş GPU kartları için yazarlar NVIDIA şirketine memnuniyetlerini sunar. Ayrıca, yarışma sırasında ve sonrasında değerli fikir alışverişlerinden dolayı Sn. Alper Selver’e ve Sn. Emre Kavur’a teşekkür eder.

*2 boyutlu ayrık giderme 3 boyutlu olarak uygulandığında elde edilen sonuç

Bibliography

- [1] M. A. Selver, A. Kocaoğlu, G. K. Demir, H. Doğan, O. Dicle, and C. Güzeliş, “Patient oriented and robust automatic liver segmentation for pre-evaluation of liver transplantation,” *Computers in Biology and Medicine*, vol. 38, no. 7, pp. 765 – 784, 2008.
- [2] M. A. Selver, F. Fischer, S. Gezer, W. Hillen, and O. Dicle, “Semi-automatic segmentation methods for 3-d visualization and analysis of the liver,” in *e-Health – For Continuity of Care*, vol. 205 of *Studies in Health Technology and Informatics*, pp. 1133 – 1137, 2014.
- [3] J. Dolz, K. Gopinath, J. Yuan, H. Lombaert, C. Desrosiers, and I. B. Ayed, “Hyperdense-net: A hyper-densely connected CNN for multi-modal image segmentation,” *CoRR*, vol. abs/1804.02967, 2018.
- [4] K. Kamnitsas, C. Ledig, V. F. J. Newcombe, J. P. Simpson, A. D. Kane, D. K. Menon, D. Rueckert, and B. Glocker, “Efficient multi-scale 3d CNN with fully connected CRF for accurate brain lesion segmentation,” *CoRR*, vol. abs/1603.05959, 2016.
- [5] K. Kamnitsas, W. Bai, E. Ferrante, S. G. McDonagh, M. Sinclair, N. Pawlowski, M. Rajchl, M. C. H. Lee, B. Kainz, D. Rueckert, and B. Glocker, “Ensembles of multiple models and architectures for robust brain tumour segmentation,” *CoRR*, vol. abs/1711.01468, 2017.
- [6] F. Isensee, P. Kickingereder, W. Wick, M. Bendszus, and K. H. Maier-Hein, “Brain tumor segmentation and radiomics survival prediction: Contribution to the brats 2017 challenge,” in *Multimodal Brain Tumor Segmentation Benchmark, Brain-lesion Workshop, MICCAI 2017*, 09/2017 2017.
- [7] G. Wang, W. Li, S. Ourselin, and T. Vercauteren, “Automatic brain tumor segmentation using cascaded anisotropic convolutional neural networks,” *CoRR*, vol. abs/1709.00382, 2017.
- [8] A. Krizhevsky, I. Sutskever, and G. E. Hinton, “Imagenet classification with deep convolutional neural networks,” in *Proceedings of the 25th International Conference on Neural Information Processing Systems - Volume 1, NIPS’12, (USA)*, pp. 1097–1105, Curran Associates Inc., 2012.
- [9] K. He, X. Zhang, S. Ren, and J. Sun, “Deep residual learning for image recognition,” *CoRR*, vol. abs/1512.03385, 2015.
- [10] C. Szegedy, W. Liu, Y. Jia, P. Sermanet, S. Reed, D. Anguelov, D. Erhan, V. Vanhoucke, and A. Rabinovich, “Going deeper with convolutions,” in *Computer Vision and Pattern Recognition (CVPR)*, 2015.
- [11] K. Simonyan and A. Zisserman, “Very deep convolutional networks for large-scale image recognition,” *CoRR*, vol. abs/1409.1556, 2014.
- [12] E. Shelhamer, J. Long, and T. Darrell, “Fully convolutional networks for semantic segmentation,” *IEEE Trans. Pattern Anal. Mach. Intell.*, vol. 39, pp. 640–651, Apr. 2017.
- [13] I. Goodfellow, J. Pouget-Abadie, M. Mirza, B. Xu, D. Warde-Farley, S. Ozair, A. Courville, and Y. Bengio, “Generative adversarial nets,” in

- Advances in Neural Information Processing Systems 27* (Z. Ghahramani, M. Welling, C. Cortes, N. D. Lawrence, and K. Q. Weinberger, eds.), pp. 2672–2680, Curran Associates, Inc., 2014.
- [14] G. Kim, “Brain tumor segmentation using deep u-net,” in *MICCAI BraTS 2017 Proceedings*, 2017.
- [15] P. Moeskops, M. Veta, M. W. Lafarge, K. A. J. Eppenhof, and J. P. W. Pluim, “Adversarial training and dilated convolutions for brain MRI segmentation,” *CoRR*, vol. abs/1707.03195, 2017.
- [16] X. Li, X. Zhang, and Z. Luo, “Brain tumor segmentation via 3d fully dilated convolutional networks,” in *Multimodal Brain Tumor Segmentation Benchmark, Brain-lesion Workshop, MICCAI 2017*, 09/2017 2017.
- [17] F. Yu and V. Koltun, “Multi-scale context aggregation by dilated convolutions,” *CoRR*, vol. abs/1511.07122, 2015.
- [18] P. Luc, C. Couprie, S. Chintala, and J. Verbeek, “Semantic segmentation using adversarial networks,” *CoRR*, vol. abs/1611.08408, 2016.
- [19] Z. Li, Y. Wang, and J. Yu, “Brain tumor segmentation using an adversarial network,” in *Brainlesion: Glioma, Multiple Sclerosis, Stroke and Traumatic Brain Injuries* (A. Crimi, S. Bakas, H. Kuijf, B. Menze, and M. Reyes, eds.), (Cham), pp. 123–132, Springer International Publishing, 2018.
- [20] M. Rezaei, K. Harmuth, W. Gierke, T. Kellermeier, M. Fischer, H. Yang, and C. Meinel, “Conditional adversarial network for semantic segmentation of brain tumor,” *CoRR*, vol. abs/1708.05227, 2017.
- [21] O. Ronneberger, P. Fischer, and T. Brox, “U-net: Convolutional networks for biomedical image segmentation,” *CoRR*, vol. abs/1505.04597, 2015.
- [22] I. Goodfellow, Y. Bengio, and A. Courville, *Deep Learning*. MIT Press, 2016. <http://www.deeplearningbook.org>.
- [23] R. H. R. Hahnloser, R. Sarpeshkar, M. A. Mahowald, R. J. Douglas, and H. S. Seung, “Digital selection and analogue amplification coexist in a cortex-inspired silicon circuit,” *Nature*, vol. 405, pp. 947–951, 2000.
- [24] S. Ioffe and C. Szegedy, “Batch normalization: Accelerating deep network training by reducing internal covariate shift,” *CoRR*, vol. abs/1502.03167, 2015.
- [25] K. He, X. Zhang, S. Ren, and J. Sun, “Delving deep into rectifiers: Surpassing human-level performance on imagenet classification,” *CoRR*, vol. abs/1502.01852, 2015.
- [26] P. Isola, J. Zhu, T. Zhou, and A. A. Efros, “Image-to-image translation with conditional adversarial networks,” *CoRR*, vol. abs/1611.07004, 2016.
- [27] M. Arjovsky and L. Bottou, “Towards principled methods for training generative adversarial networks,” *CoRR*, vol. abs/1701.04862, 2017.
- [28] D. P. Kingma and J. Ba, “Adam: A method for stochastic optimization,” *CoRR*, vol. abs/1412.6980, 2014.